

حل عددی پدیده جذب گاز با استفاده از فیلم مایع در داخل لوله عمودی

*سیامحمد خردمند⁺

تهران، دانشگاه امام حسین(ع)، دانشکده فنی مهندسی، گروه مکانیک، صندوق پستی ۱۳۳۴۶۹۷۳۶۸

اسماعیل اسماعیلزاده

تبریز، دانشگاه تبریز، دانشکده فنی، گروه مهندسی مکانیک

چکیده: ستون های جذب گاز که با استفاده از فیلم مایع کار می کنند امروزه دارای نقش مهمی در صنایع هستند. در این مقاله حل عددی معادله های انتقال مومنتم و جرم برای فیلم مایع از سیستم جریان فیلم مایع و گاز که در داخل لوله ای عمودی و به شکل جریان حلقوی در حرکت آند صورت پذیرفته است. در این سیستم جریان فیلم مایع به صورت مغشوش و موجی است. برای بررسی اختشاش های فیلم مایع از مدل اصلاح شده Van Driest و همچنین برای بررسی موج ها در فیلم مایع از مدل Suzuki استفاده شده است. مقایسه نتیجه های به دست آمده از مطالعه عددی انجام شده با نتیجه های تجربی ارایه شده توسط دیگران برای جذب گاز CO_2 در آب نیز صورت گرفته است.

واژه های کلیدی: جریان حلقوی، جذب گاز، فیلم مایع، مغشوش، موجی

KEY WORDS: Annular flow, Gas absorption, Liquid film, Turbulence, Wavy.

مقدمه

هنگام سرازیر شدن از سطح لوله جذب می کند [۱]. عمل سولفونه کردن^(۱) برای محلول دودسیل بنزن^(۲) نیز یکی از مهم ترین واکنش هایی است که در صنایع پاک کنندها مورد بهره برداری قرار می گیرد. گاز SO_2 به همراه N_2 در مجاورت فیلم مایع دودسیل بنزن که روی دیوارهای لوله ای در حرکت است قرار گرفته و جذب آن می شود، در نتیجه این جذب ماده خروجی قابلیت پاک کنندگی پیدا می کند [۲]. گازهایی که از منابع نفتی و یا صنایع گاز و پتروشیمی حاصل می شوند به طور عمدۀ دارای مقدارهای متفاوتی از گازهای هیدروژن سولفید (H_2S) و

+E-mail: mahkherad@hotmail.com

(۱) Sulfonation

(۲) Dodecyl benzene

* عهده دار مکاتبات

می شود گاز میعان نمی کند.
۵) جریان در حال توسعه^(۳) است.

۶) واکنش شیمیایی بین گاز و مایع انجام نمی گیرد و فیلم
مایع هم دما است.

معادلات اساسی

مدل فیزیکی مورد استفاده با توجه به شکل ۱ عبارت است از
لوله قائمی که کناره دیوارهای آن فیلم مایع و در وسط لوله
جریان گاز به شکل همسو با مایع و رو به پایین در حرکت هستند.
مبدأ مختصات روی جداره لوله و محور y عمود بر امتداد لوله و
محور x در جهت حرکت و در امتداد لوله است.

با توجه به محورهای مختصات در نظر گرفته شده معادله های
اساسی مشخص خواهند شد.

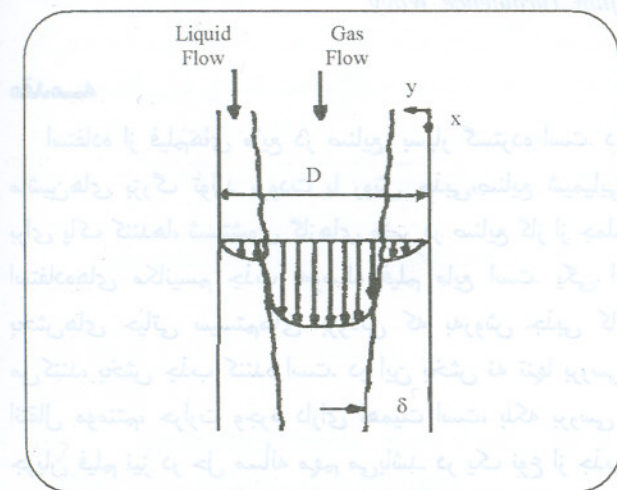
معادله انتقال مومنت

برای جریان فیلم مایع که ضخامت آن کم است معادله ها را
می توان با توجه به شباهتشان به معادله های حالت دائم مربوط به
جریان لایه مرزی به شکل معادله (۱) نوشت [۷].

$$\rho_1 u_1 \frac{\partial u_1}{\partial x} + \rho_1 v_1 \frac{\partial u_1}{\partial y} = \rho_1 g + \left[-\frac{\partial p}{\partial x} + (\mu_{l,eff}) \frac{\partial^2 u_1}{\partial y^2} \right] \quad (1)$$

که در آن

$$\mu_{l,eff} = \mu_l + \mu_{lt} + \tilde{\mu}_l \quad (2)$$



شکل ۱- مشخصات ستون با جریان حلقوی

(۱) Damping Factor

(۲) Entrainment

کربن دی اکسید (CO₂) هستند. این گازها را در اصطلاح گازهای
ترش می نامند، وجود CO₂ به مقدار زیاد و H₂S حتی به مقدار کم
باعت اشکالهای فراوانی می شود. برای مثال هیدروژن سولفید
سبب خوردگی لوله ها شده و در هنگام سوختن نیز گاز دی اکسید
گوگرد تولید می کند که سمی و خورنده است. بنابراین، گازهای
ضرر باید از جریان گازها حذف شوند. یکی از راههای حذف
گازهای ترش استفاده از واکنشهای شیمیایی است. راه دیگر
استفاده از روش های فیزیکی است که در آن از تماس گاز و
مایع استفاده می شود. در بررسی انجام شده روش فیزیکی
تماس گاز و فیلم مایع در داخل لوله های قائم مورد مطالعه قرار
گرفته است.

در صورتی که جریان فیلم مایع به همراه اغتشاش ها باشد،
باید اثر اغتشاش ها نیز در معادله های اساسی وارد شود. Liu و Yih [۳]
مدل اصلاح یافته Van Driest را که توسط Limberg و Seban و Faghri
فصل مشترک و یک ضریب خفگی^(۱) بهبود بخشیدند. در این
مقاله این مدل بهبود یافته مورد استفاده قرار گرفته است.

در صورتی که فصل مشترک فیلم مایع و گاز موجی باشد
در این حالت مسئله مشکل تر خواهد شد و باید با مدل کردن
تأثیرهای این موج ها، اثر آنها در معادلات در نظر گرفته شود [۴].
در این قسمت از مدل Suzuki [۵] برای سطوح موجی استفاده
شده است. در این مدل تأثیر موج ها بر انتقال مومنت، حرارت و
جرم همانند حرکت جریان مغشوش در نظر گرفته می شود.
ویسکوزیته ظاهری امواج همانند ویسکوزیته ظاهری اغتشاش ها
که توسط Prandtl - Kolmogoroff [۶] ارایه شده است، مورد
استفاده قرار می گیرد.

فرضیات

حل عددی معادله های انتقال جرم و مومنت براساس
فرضیه های اصلی زیر صورت پذیرفته است.

- (۱) قطره های مایع به داخل گاز^(۲) وارد نمی شوند.
- (۲) در مایع هیچگونه حباب گاز وجود ندارد.
- (۳) با در نظر گرفتن آب در دمای ۳۰۰ درجه کلوین به عنوان
مایع فرض می شود که آن تبخیر نمی شود.
- (۴) با توجه به حلالیت گاز دی اکسید کربن در آب فرض

(۳) Developing

(۲) ناحیه دور از دیوار که در آن $\frac{y}{\delta} > 0.6$ است.

در این ناحیه ویسکوزیته ناشی از اغتشاش‌ها برابر با مقدار آن

$$\text{از معادله (۶) در } \frac{y}{\delta} = 0.6 \text{ منظور می‌شود.}$$

مدل ارایه شده توسط Suzuki و همکاران برای محاسبه ویسکوزیته ناشی از موجها

یک توده از سیال در فیلم مایع با حرکت عمودی به سمت داخل و خارج با انتشار موج در سطح مشترک دو فاز مورد بررسی قرار می‌گیرد. حرکت ناشی از موج با حرکت توده ای از سیال که دارای اغتشاش‌های است، متفاوت است [۹]. اما می‌توان تاثیر موج‌ها را روی انتقال حرارت، جرم و مومنت را همانند حرکت جریان مغشوش در نظر گرفت و ویسکوزیته ظاهری برای موج را همانند ویسکوزیته ظاهری اغتشاش‌ها که توسط پرانتل کولموگراف^(۱) [۱۰] و Liu^(۲) ارایه شده است را به شکل زیر مدل کرد.

$$\mu_1' = C_D \rho \Delta u' \quad (10)$$

در این رابطه C یک ثابت تعادلی بوده و مقدار آن در محاسبه‌ها با استفاده از نتایج تجربی به دست می‌آید. در این رابطه به جای مقیاس طول از L و بجای مقیاس سرعت اغتشاش‌ها از u' استفاده شده است. دامنه موج L و فرکانس آن F بوده و مقیاس طول و سرعت با ترکیب L و F قبل ارایه هستند [۱۱].

در اینجا دو نوع موج روی سطح مشترک وجود داشته که برای موج‌های چوکی^(۳) از حرف r و برای موج‌های مضطرب^(۴) از حرف d استفاده می‌شود [۱۲]. بدین ترتیب می‌توان ویسکوزیته مایع موج را به شکل زیر نوشت:

$$\tilde{\mu}_1 = C_d \rho_1 L_d^2 F_d + C_r \rho_1 L_r^2 F_r \quad (11)$$

از آنجایی که موج‌ها در حرکت مایع در روی دیواره مستقل می‌شوند لذا $\tilde{\mu}$ در لایه نازک چسبیده به دیواره برابر صفر و خارج از این لایه $\tilde{\mu}$ غیر صفر خواهد بود.

با توجه به بررسی‌های انجام شده توسط Suzuki و همکارانش مقدار C_d و C_r برابر با $1/34$ در نظر گرفته شده است [۱۳].

شرایط مرزی مسأله به صورت زیر است:

$$(3) y = 0 \quad u = 0$$

$$(4) y = \delta \quad \tau = \tau_i$$

$$(5) x = 0 \quad u = u_{in}$$

همان‌گونه که در معادله (۲) مشاهده می‌شود، ویسکوزیته موثر شامل ویسکوزیته مولکولی سیال، ویسکوزیته ناشی از اغتشاش‌ها و همچنین ویسکوزیته ناشی از موج‌های موجود در فصل مشترک است.

ویسکوزیته مولکولی را می‌توان با توجه به دمای سیال در فیلم مایع از کتب مرجع استخراج کرد. ویسکوزیته اغتشاش‌ها و موج‌ها به روش‌های زیر مدل می‌شوند.

مدل ارایه شده توسط yih و Liu برای محاسبه ویسکوزیته ناشی از اغتشاش‌ها

توزیع ویسکوزیته ناشی از اغتشاش‌ها برای مومنت به دو ناحیه تقسیم شده است [۳].

$$(1) \text{ناحیه نزدیک دیوار که در آن } \frac{y}{\delta} < 0.6 \text{ است.}$$

در این ناحیه ویسکوزیته ناشی از اغتشاش‌ها نسبت به ویسکوزیته مولکولی از معادله (۶) به دست می‌آید.

$$(6) \frac{\mu_{1t}}{\mu} =$$

$$-0.5 + 0.5 \left[1 + 0.6 y^{+} \frac{\tau}{\tau_w} \left[1 - \exp \left(-y^{+} \left(\frac{\tau}{\tau_w} \right)^{\frac{1}{2}} \right) \right]^2 \right]^{\frac{1}{2}}$$

که در آن

$$(7) f = \exp(-1.66 \frac{\tau}{\tau_w})$$

$$(8) \frac{\tau}{\tau_w} = 1 - S^{\frac{1}{2}} \frac{y^+}{\delta^+}$$

$$(9) S^{\frac{1}{2}} = \frac{\rho g \delta}{\tau_i + \rho g \delta}$$

تفاوت مدل yih و Liu با مدل مورد استفاده Limberg در آن است که ترم‌های تنش برشی برای وارد کرد اثر تنش فصل مشترک بهبود یافته است [۸].

(3) Disturbance

(۱) Prandtl-kolmogoroff

(۲) Ripple

معادله انتقال جرم

براساس فرض‌های قسمت هیدرودینامیک جریان و با فرض آنکه در جهت حرکت مایع می‌توان از نفوذ مولکولی در مقابل نفوذ جابه‌جایی صرف نظر کرد. رابطه موازن جرم گاز نفوذی در فیلم مایع به شکل معادله (۲۷) نوشته می‌شود [۷].

$$u_1 \frac{\partial C_A}{\partial x} = \frac{\partial}{\partial y} (D_{eff}) \frac{\partial C_A}{\partial y} \quad (27)$$

که در آن

$$D_{eff} = D + D_t + \tilde{D} \quad (28)$$

شرایط مرزی مسئله برای معادله انتقال جرم به شکل زیر است.

$$y = 0 \quad \frac{\partial C_A}{\partial y} = 0 \quad (29)$$

برای شرط مرزی غلظت گاز در فصل مشترک از تعادل دو فاز و قانون هنری می‌توان نوشت [۱۵]

$$y = \delta \quad C_s = \frac{P_A}{H} \quad (30)$$

در بررسی انجام شده با توجه به خالص در نظر گرفتن گاز دی‌اکسید کربن (CO_2) مقدار فشار نسبی آن را می‌توان برابر با فشار گاز در نظر گرفته و ضریب هنری [۱۵] برابر با $\frac{atm \cdot m^r}{Kg mol} = ۲۹۴$ است.

$$x = 0 \quad C_A = C_{in} = 0 \quad (31)$$

همان‌گونه که در معادله (۲۸) مشاهده می‌شود ضریب نفوذ موثر شامل ضریب نفوذ مولکولی گاز در مایع و ضریب نفوذ ناشی از اغتشاش‌ها و همچنین ضریب نفوذ ناشی از موج‌های موجود در فصل مشترک است.

ضریب نفوذ مولکولی را می‌توان با توجه به دما، از کتب مرجع استخراج کرد. ضریب نفوذ اغتشاش‌ها و موج‌ها به روش‌های زیر مدل می‌شوند.

مدل ارایه شده yih و Liu برای محاسبه ضریب نفوذ ناشی از اغتشاش‌ها

$$\text{عدد اشمتیت مغشوش } \left(\frac{\mu_{lt}}{\rho D_t} = Sc_t \right) \text{ از مدل اصلاح شده}$$

توسط Van Driest توسعه yih و Liu [۳] به دست می‌آید. در این مدل به شکل معادله (۳۲) است.

همچنین در این مدل مقدارهای L_r ، F_r ، L_d و F_d بر حسب عدهای رینولدز فیلم در دو بخش به شکل زیر ارایه شده است:

(الف) برای $Re_f < 4000$

$$L_r = 0.17 \times \Delta \quad (12)$$

$$L_d = -1.55 \times 10^{-3} Re_f^2 + 1.485 \times 10^{-2} Re_f + 1.59 \times 10^{-2} \quad (13)$$

$$F_r = 0.957 Re_s^{0.195} \quad (14)$$

$$F_d = -0.157 \times 10^{-3} Re_f^2 + 1.604 \times 10^{-2} Re_f + 4.309 \quad (15)$$

$$Re_s = 68 \exp(4.718 \times 10^{-3} (Re_f - 1000)) \quad (16)$$

$$\Delta = 6.196 \times 10^{-3} Re_f^{0.339} \quad (17)$$

(ب) برای $Re_f > 4000$

$$L_r = 0.17 \times \Delta \quad (18)$$

$$L_d = 3.415 \times 10^{-3} Re_f^{0.325} \quad (19)$$

$$F_r = 0.957 Re_s^{0.195} \quad (20)$$

$$F_d = -3.525 Re_f^2 + 0.588 \times 10^{-2} Re_f + 8.42 \quad (21)$$

$$Re_s = 448 \exp(5.798 \times 10^{-3} (Re_f - 4000)) \quad (22)$$

$$\Delta = 2.811 \times 10^{-3} Re_f^{0.812} \quad (23)$$

با استفاده از رابطه‌های ارایه شده می‌توان $\tilde{\mu}_1$ را برای فیلم‌های موج‌دار به دست آورد و در فاصله‌های متفاوت از دیواره توزیع آن را محاسبه کرد [۱۴] و $\mu_{1,eff}$ را به دست آورد یعنی:

$$0 \leq y^+ < 5 \quad \mu_{1,eff} = \mu_1 + \mu_{lt} \quad (24)$$

$$5 \leq y^+ < 30 \quad (25)$$

$$\mu_{1,eff} = \mu_1 + \mu_{lt} + \tilde{\mu}_1(y^+ - 5)/25$$

$$30 \leq y^+ < \delta^+ \quad \mu_{1,eff} = \mu_1 + \mu_{lt} + \tilde{\mu}_1 \quad (26)$$

با معلوم شدن $\tilde{\mu}_{1,eff}$ می‌توان معادله انتقال مومتم را حل کرد و پروفیل سرعت را برای فاصله دیواره لوله تا فصل مشترک به دست آورد.

کل فیلم مایع موازن مولی جزء گاز نفوذی را به شکل معادله (۳۷) نوشت.

$$K_L = \left(\frac{\Gamma}{\rho_1 L} \right) \left[\frac{\left(\frac{d}{r} \right)}{\left(\left(\frac{d}{r} \right) - \delta \right)} \right] \ln \left(\frac{C_{iin} - C_{bin}}{C_{iout} - C_{bout}} \right) \quad (37)$$

که در آن

$$C_b = \frac{\int_0^{\delta} Cudy}{\int_0^{\delta} u dy} \quad (38)$$

نتایج و بحث

حل معادله‌های انتقال مومنت، جرم و پیوستگی به همراه شرایط مرزی داده شده با روش تفاوت محدود منجر به ماتریس ضریب‌های سه قطری می‌شود که با روش حذفی گوس حل شده است. طول ستون $1/8$ متر و قطر لوله آن $1/5$ سانتی‌متر منظور شده است. شبکه ایجاد شده برای حل عددی معادله‌ها در عرض فیلم 12 گره منظور شده و گره‌های در طول ستون را که محاسباتی مورد استفاده تعیین می‌کنند. محاسبات انتقال مومنت، جرم و پیوستگی قدم به قدم صورت می‌گیرد (برای محاسبه‌های مومنت از کد GENMIX استفاده شده است [۱۶]). دمای گاز و آب ورودی 300 درجه کلوین و محاسبه‌ها در عدد رینولدز گاز 1200 و برای عده‌های رینولدز فیلم 3600 ، 4000 ، 3600 ، 4000 ، 3600 ، 4000 انجام شده است. از مشخصات فیزیکی آب برای فیلم مایع و از مشخصات فیزیکی کربن دی‌اکسید برای گاز استفاده شده است. با حل معادله‌ها می‌توان پروفیل سرعت و غلظت و ضریب انتقال جرم را بدست آورد.

در شکل ۲ مقادیر سرعت در فصل مشترک بر حسب طول ستون برای عده‌های رینولدز فیلم 3600 ، 4000 ، 3600 رسم شده‌اند. به‌نظر می‌آید که سرعت در فصل مشترک برای عده‌های رینولدز کوچکتر (که دبی‌های کمتری از فیلم مایع عبور می‌کند) کمتر بوده و در کل با توجه به معادله پیوستگی، با افزایش طول که ضخامت فیلم رشد می‌کند، مقدار آن کاهش می‌یابد.

در شکل ۳ مقادرهای تنش برشی در فصل مشترک بر حسب طول ستون برای عده‌های رینولدز 3600 ، 4000 ، 3600 نشان داده شده است. با توجه به تغییرهای سرعت در فصل مشترک انتظار می‌رود که در عده‌های رینولدز کمتر، تنش برشی کمتر و تغییرهای آن با افزایش طول ستون کاهنده باشد که این گونه است.

در شکل‌های ۴ و ۵ نیمرخ سرعت در فیلم مایع برای اعداد

$$Sc_t = \frac{\left\{ 1 - \exp \left[-y^+ \left(\frac{\tau}{\tau_w} \right)^{\frac{1}{2}} / A^+ \right] \right\}}{\left\{ 1 - \exp \left[-y^+ \left(\frac{\tau}{\tau_w} \right)^{\frac{1}{2}} / B^+ \right] \right\}} \quad (39)$$

که در آن $A^+ = 25/1$ و B^+ از معادله (۳۹) به دست می‌آید.

$$B^+ = Sc^{-\frac{1}{2}} \cdot \sum_{i=1}^{i=8} C_i (\log Sc)^{i-1} \quad (40)$$

که در آن $C_1 = 33/95$ ، $C_2 = 28/97$ ، $C_3 = 34/96$ و $C_4 = 6/33$ است.

بدین ترتیب با محاسبه Sc_t می‌توان مقدار D_t را محاسبه کرده و از آن در معادله انتقال جرم استفاده کرد.

مدل ارایه شده برای محاسبه ضرب نفوذ ناشی از موج‌ها

در این قسمت از مدل ارایه شده برای محاسبه ویسکوزیته ناشی از امواج استفاده می‌شود. با توجه به قسمتهای قبلی جهت محاسبه ویسکوزیته ناشی از موج‌ها می‌توان نوشت:

$$\rho_1 \tilde{D} = \frac{\tilde{\mu}_1}{\tilde{S}c} \quad (41)$$

با فرض $[5]$ می‌توان $\tilde{S}c = Sc_t$ را به دست آورد.

$$\tilde{D} = D_t \left(\frac{\tilde{\mu}_1}{\mu_1 t} \right) \quad (42)$$

با معلوم شدن D_t ، \tilde{D} اینک می‌توان معادله انتقال جرم را با توجه به حل معادله انتقال مومنت حل کرد و پروفیل غلظت را برای فاصله دیواره لوله تا فصل مشترک به دست آورد.

معادله پیوستگی

برای جریان فیلم مایع با توجه به محورهای مختصات در نظر گرفته شده می‌توان معادله پیوستگی را نوشت

$$\frac{\partial u_1}{\partial x} + \frac{\partial v_1}{\partial y} = 0 \quad (43)$$

معادله پیوستگی نیز باید به همراه معادله‌های انتقال مومنت و جرم به طور همزمان حل شود.

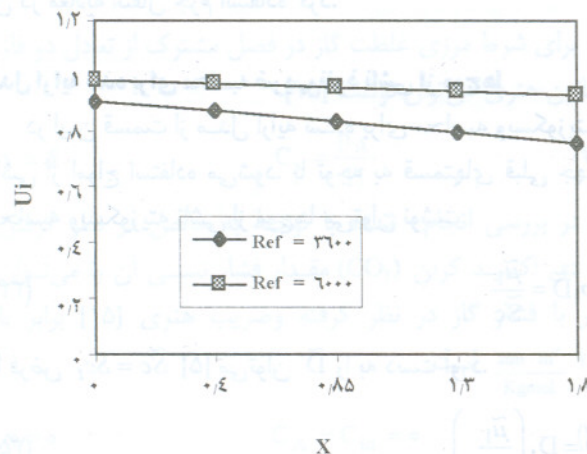
ضریب انتقال جرم

برای محاسبه ضریب انتقال جرم برای فیلم مایع می‌توان حول

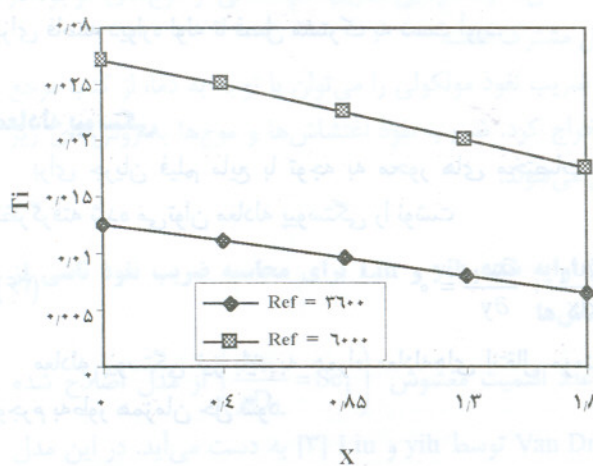
جدول ۱- مقایسه ضریب‌های انتقال جرم

طول ستون	ضریب انتقال جرم عددی $*10^{-3}$	ضریب انتقال جرم تجربی $*10^{-3}$	خطا %
۰/۱۲۶	۰/۳۸۹	۰/۳۲۵	۱۹/۵
۰/۴۹۰	۹/۹۲۶	۰/۱۶۵	۳۹/۸
۰/۸۹۹	۹/۰۷۲	۰/۱۲۱	۲۴/۷
۱/۴۹	۹/۰۷۲	۰/۹۲۲	۱/۶۳
۱/۸	۹/۰۷۳	۰/۹۲۲	۱/۶۳

$$ER = \left| \frac{K_{L,E} - K_{L,N}}{K_{K,E}} \right|$$



شکل ۲- تغییرهای سرعت در فصل مشترک بر حسب طول ستون برای عدددهای رینولدز ۳۶۰۰ و ۶۰۰۰



شکل ۳- تغییرهای تنفس برشی در فصل مشترک بر حسب طول ستون برای عدددهای رینولدز ۳۶۰۰ و ۶۰۰۰

رینولدز ۴۰۰۰ در طولهای ۰/۳، ۰/۲، ۰/۱۵ در طولهای ۰/۳، ۰/۲، ۰/۰۲ متر رسم شده‌اند. مشاهده می‌شود با افزایش طول که با افزایش ضخامت فیلم همراه است، مقدار سرعت کاهش یافته و تعییرهای آن نیز کمتر شده و توسعه می‌یابد. همچنین مشاهده می‌شود که با افزایش عدد رینولدز فیلم، بر مقدار سرعت افزوده می‌شود.

در شکل‌های ۶ و ۷ نیمرخ غلظت در فیلم مایع برای عدددهای رینولدز فیلم ۳۶۰۰، ۱۲۰۰ در طولهای ۰/۰۲، ۰/۱۵ متر رسم شده است. با افزایش طول، مقدارهای غلظت بیشتر می‌شود چرا که نفوذ با افزایش طول، بیشتر خواهد شد. تعییرهای غلظت با طول ستون نشان می‌دهد که غلظت در این شرایط در امتداد لوله به طور سریع توسعه می‌یابد. همچنین با افزایش عدد رینولدز، غلظت کاهش یافته چرا که فرصت نفوذ در این حالت کمتر می‌شود.

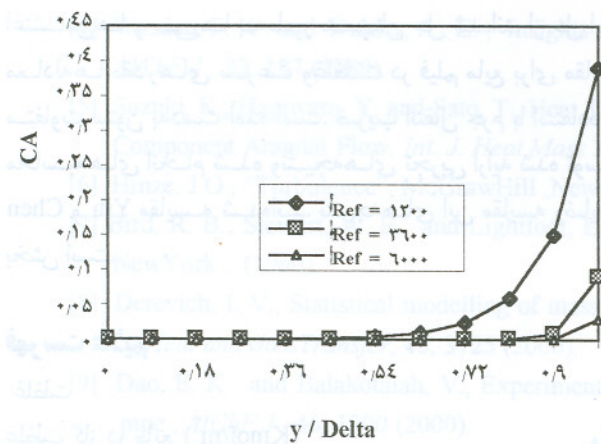
در شکل ۸ تعییرهای ضریب انتقال جرم در فیلم مایع بر حسب طول ستون برای عدد رینولدز فیلم ۳۶۰۰ رسم شده و نتیجه‌های به دست آمده با نتیجه‌های تجربی ارایه شده توسط [۳] Chen و Yih مقایسه شده اند.

در جدول ۱ ضریب انتقال جرم به دست آمده از کار محاسباتی انجام گرفته و نتیجه‌های تجربی ارایه شده در طولهای مشخص از ستون مقایسه شده‌اند. ملاحظه می‌شود که در انتهای ستون، درصد خطای بسیار کم شده و ضریب انتقال جرم محاسباتی به مقدار تجربی آن رسیده است. نتیجه این مقایسه، محاسبات عددی انجام شده را تایید می‌کند.

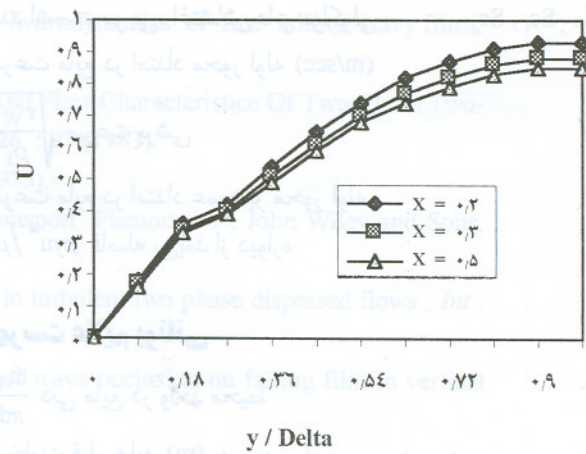
در شکل ۹ ضخامت فیلم مایع بر حسب طول ستون برای اعداد رینولدز ۶۰۰۰، ۳۰۰۰ رسم شده است. به طور کلی می‌توان گفت مقدار ضخامت فیلم مایع دارای رشد کمی است و مقدار این رشد با توجه به مقدار سرعت، معادله پیوستگی را ارضا می‌نماید. انتظار می‌رود که با افزایش عدد رینولدز فیلم، مقدار ضخامت فیلم زیاد شود که این افزایش در شکل مشخص می‌باشد.

نتیجه گیری نهایی

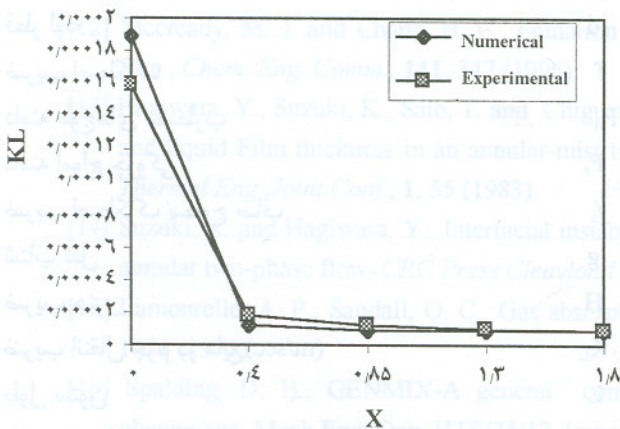
برای بررسی پدیده جذب گاز کربن دی اکسید در آب از جریان حلقوی در داخل لوله قائم استفاده شده است. معادله‌های انتقال مومنت، جرم و معادله پیوستگی با در نظر گرفتن اثر



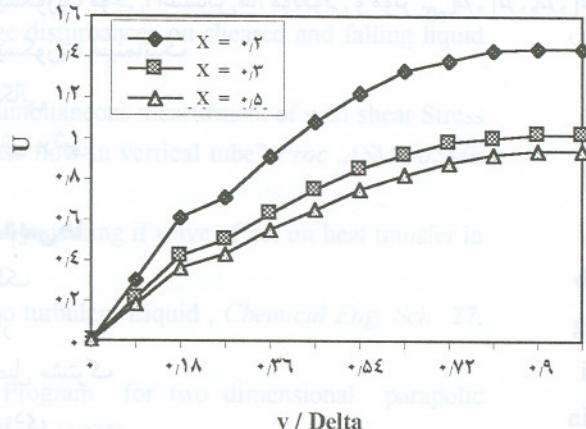
شکل ۷- نیمرخ غلظت در فیلم مایع برای عدههای رینولوز فیلم، ۱۲۰۰، ۳۶۰۰ و ۶۰۰۰ در طول ۱/۵ متر



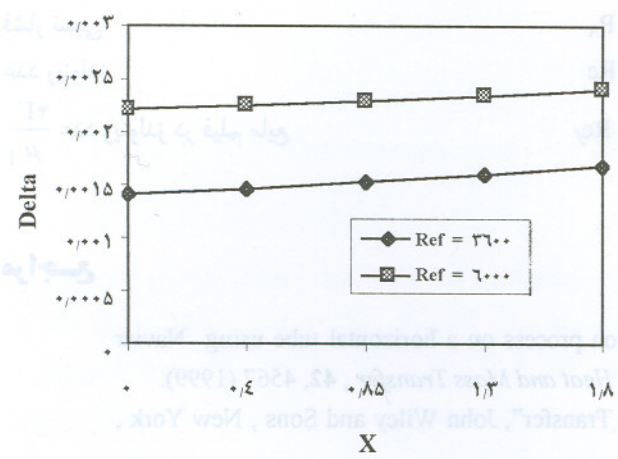
شکل ۴- نیمرخ سرعت در فیلم مایع برای عده رینولوز فیلم، ۱۲۰۰، ۳۶۰۰ و ۶۰۰۰ در طول های ۰/۲، ۰/۳ و ۰/۵ متر



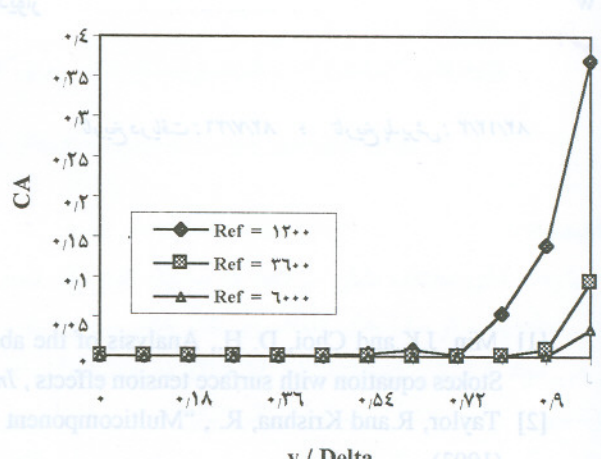
شکل ۸- تغییرهای ضربی انتقال جرم در فیلم مایع بر حسب طول ستون برای عده رینولوز فیلم ۳۶۰۰



شکل ۵- نیمرخ سرعت در فیلم مایع برای عده رینولوز فیلم، ۱۲۰۰، ۳۶۰۰ و ۶۰۰۰ در طول های ۰/۰۲، ۰/۰۳ و ۰/۰۵ متر



شکل ۹- تغییرهای ضخامت فیلم مایع بر حسب طول ستون برای عدههای رینولوز فیلم ۳۶۰۰، ۶۰۰۰ و ۱۲۰۰



شکل ۶- نیمرخ غلظت در فیلم مایع برای عدههای رینولوز فیلم ۱۲۰۰، ۳۶۰۰ و ۶۰۰۰ در طول ۰/۰۲ متر

$\tilde{S}_c, S_{c_1}, S_c$	عدد اشمیت موجی، اغتشاش‌ها و مولکولی
u	سرعت مایع در امتداد محور لوله (m/sec)
u^*	$\sqrt{\frac{\tau_w}{\rho_1}}$ سرعت برشی
v	سرعت مایع در امتداد عمود بر محور لوله
y^+	$\mu y u^*$ فاصله بی‌بعد از دیواره

اغتشاش‌ها و موج‌ها به‌طور همزمان حل شده‌اند. از حل این معادله‌ها مقدارهای سرعت و غلظت در فیلم مایع برای مقاطع متفاوت ستون به‌دست آمده است. ضریب انتقال جرم با استفاده از محاسبه‌های انجام شده و نتیجه‌های تجربی ارایه شده توسط Yih و Chen مقایسه شده‌اند. نتیجه‌های این مقایسه رضایت‌بخش است.

فهرست علایم یونانی

Γ	$\frac{\dot{m}_1}{\pi d}$ دبی مایع در واحد محیط
δ	ضخامت فیلم مایع (m)
δ^+	$\frac{\rho_1 \delta u^*}{\mu_1}$ ضخامت فیلم بی‌بعد
$\tilde{\mu}_1$	ویسکوزیته موجی، اغتشاش‌ها، مولکولی و موثر μ_{eff}
v	ویسکوزیته سینماتیک
ρ	چگالی
τ	تنش برشی
اندیس‌ها	
b	بالک
g	گاز
i	فصل مشترک
in	ورودی
l	مایع
out	خروجی
w	دیوار

تاریخ دریافت: ۸۲/۷/۲۶؛ تاریخ پذیرش: ۸۲/۱۲/۲

فهرست علایم

C	غلظت
C_A	غلظت گاز در مایع (Kmol/m ³)
C_b	غلظت بالک
C_s	غلظت تعادلی
D	ضریب نفوذ موجی، اغتشاش‌ها، مولکولی و موثر
d	قطر لوله
f	ضریب اصطکاک
F_d	دامنه موج‌های مضطرب
F_r	دامنه امواج چروکی
f_s	ضریب اصطکاک سطوح صاف
g	شتاب ثقل
H	ضریب هنری
K_L	ضریب انتقال جرم در مایع (m/sec)
L	طول ستون
L_d	دامنه موج‌های مضطرب
L_r	دامنه موج‌های چروکی
P	فشار
P_A	فشار نسبی
Re	عدد رینولدز
Re_f	$\frac{4\Gamma}{\mu_1}$ عدد رینولدز در فیلم مایع

مراجع

- [1] Min, J.K. and Choi, D. H., Analysis of the absorption process on a horizontal tube using Navier Stokes equation with surface tension effects , *Int . J. Heat and Mass Transfer* , 42, 4567 (1999).
- [2] Taylor, R. and Krishna, R. , “Multicomponent Mass Transfer”, John Wiley and Sons , New York , (1993).
- [3] Cheremisinoff, N. P., Editor, “Hand book of Heat and Mass Transfer”, section 5, Gulf Publishing co, 2, (1986).

- [4] Wasden, F. K . and Dukler, A . E . , Insights into the hydrodynamics of free falling wavy films, *AICHE J.*, **33**, 187 (1989).
- [5] Suzuki, K., Hagiwara, Y. and Sato, T., Heat Transfer And Flow Characteristice Of Two-Phase Two- Component Annular Flow, *Int. J. Heat Mass Transfer* **26**, 597 (1983).
- [6] Hinze, J.O., "Turbulence", McGrawHill ,Newyork , (1975).
- [7] Bird, R. B., Stewart, W. E. and Lightfoot, E. N., "Transport Phenomena", John Wiley and Sons, NewYork , (1960).
- [8] Derevich, I. V., Statistical modelling of mass transfer in turbulent two phase dispersed flows , *Int . J. Heat andMassTransfer*, **43**, 3725 (2000).
- [9] Dao, E. K. and Balakotaiah, V., Experimental study of wave occlusion on falling film in vertical pipe , *AICHE J.*, **46**, 1300 (2000).
- [10] Launder, B. E., and Spalding, D. B., Mathematical model of turbulence ,Academic press, London (1972).
- [11] Suzuki, K., Hagiwara, Y., and Izumi, H., A numerical study of forced convective film wise condensation in a vertical tube , *Bulletin JSME* , **33**, 134 (1990).
- [12] Mccready, M. J. and Chang, H. C., Fomation of large disturbances on sheared and falling liquid film , *Chem. Eng. Comm.*, **141**, 347 (1996).
- [13] Hagiwara, Y., Suzuki, K., Sato, T. and Chigusa, N., Simoltaneous measurment of wall shear Stress and liquid Film thickness in an annular-mist two-phase flow in vertical tube" *Proc .ASME-JSME Thermal Eng .Joint Conf.*, **1**, 55 (1983).
- [14] Suzuki, K. and Hagiwara, Y., Interfacial instability and modeling if wave effect on heat transfer in annular two-phase flow, *CRC Press Cleavland* ,(1992).
- [15] Lamourelle, A. P., Sandall, O. C., Gas absorption into turbulent Liquid , *Chemical Eng. Sci.* **27**, 1035 (1972).
- [16] Spalding, D. B., GENMIX-A general computer Program for two dimensional parabolic phenomena, *Mech Eng. Dep. HTS/75/17*, Imperial College (1975).

کلیه مقالات این مجله در پایگاه ملی کتابخانه مرکزی ایران نمایه شده است.

این مقاله در پایگاه ملی کتابخانه مرکزی ایران نمایه شده است.

کلیه مقالات این مجله در پایگاه ملی کتابخانه مرکزی ایران نمایه شده است.

روانی هایی که تولید شده در فرایند فلاتریون بخوبی دارند،
توانند میان میان فلاترها فوتاپرسون تراویحی داشتند و
با این مواد با آریش کشیده، غاز [3] به صورت دلیل در
فلاتریون باری خوش ساخته مانوریکی مخلل فلاتریون
برآمدند. تغییر عوامل میان فلاتر میان مواد غذایی، مواد
ساختاری که تولید شده اند من قواید داشت تاکه این عوامل تغییر نداش-

ندند. در این مطالعه میان میان فلاتر که تولید شده
بود، تاثیع پاپی در میان فلاترها فوتاپرسون تراویحی داشتند و
با این مواد با آریش کشیده، غاز [3] به صورت دلیل در
فلاتریون باری خوش ساخته مانوریکی مخلل فلاتریون
برآمدند. تغییر عوامل میان فلاتر میان مواد غذایی، مواد
ساختاری که تولید شده اند من قواید داشت تاکه این عوامل تغییر نداش-

E-mail: alami@knu.ac.ir